

COMUNICACIÓN e-POSTER



CAMBIOS EN EL ESPESOR COROIDEO MACULAR EN FUNCIÓN DE LA LONGITUD AXIAL Y AMETROPÍA EN SUJETOS SANOS

Autores:

NOELIA MARTÍNEZ ALBERT. Clínica Avanza. Valencia/València. España.

DANIEL MONSÁLVEZ ROMÍN. Universidad de Valencia. Valencia/València. España.

JUAN CARLOS NIETO FERNÁNDEZ. Clinica Avanza. Valencia/València. España.

ANA TAUSTE FRANCÉS. Universidad de Valencia. Valencia/València. España.

Tipo de comunicación:

Comunicación en e-póster

Área temática:

PATOLOGÍA OCULAR Y FARMACOLOGÍA

Subárea temática:

Patología segmento posterior

Palabras clave:

Espesor coroideo, mácula, ametropía

JUSTIFICACIÓN Y OBJETIVOS:

Estudios recientes sugieren cambios vasculares en el área macular en enfermedades como el glaucoma, por lo que comprender la asociación entre la componente vascular en diversas patologías con repercusión ocular es crucial para el diagnóstico y manejo temprano de estas condiciones Para entender las posibles alteraciones que pueden ocurrir en estas enfermedades, es necesario caracterizar las variaciones en el espesor coroideo macular (ECM) influenciadas por factores estructurales y anatómicos oculares en ojos no patológicos. Así, el objetivo principal de este estudio es analizar las variaciones del ECM mediante tomografía de coherencia óptica (OCT) en relación con la longitud axial (LA) y ametropía en sujetos sanos, con el fin de estudiar los cambios que puedan tener implicaciones clínicas significativas.

MATERIAL Y MÉTODOS:

En este estudio se evaluaron 37 ojos sanos de pacientes con una edad entre 22 y 45 años (media 33,50 \pm 12 años). Las medidas se realizaron en la misma visita por dos examinadores experimentados. Se midió el ECM utilizando OCT (DRI OCT Triton TM°) y la LA se obtuvo mediante biometría óptica (IOL Master 700 $^{\circ}$). Los datos de ECM se extrajeron por zonas de acuerdo a la rejilla ETDRS (Figura 1): área central, anillo interno y anillo externo. El anillo interno y externo se





COMUNICACIÓN e-POSTER

subdividen en zona superior, nasal, inferior y temporal. Sólo se incluyeron los datos del ojo derecho para el análisis. Se evaluaron las diferencias de ECM entre las zonas de la rejilla ETDRS mediante el test ANOVA para medidas repetidas. La correlación del ECM por zonas con la LA y el equivalente esférico (EE) se evaluó a través del coeficiente de Pearson. Se consideró que existían diferencias estadísticamente significativas con un p valor menor a 0,05.

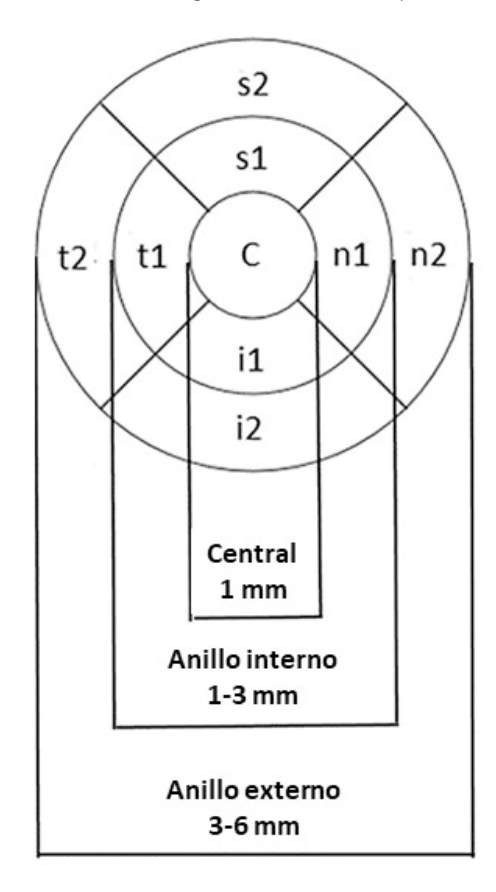


Figura 1. Zonas rejilla ETDRS. c=central: s=superior; n=nasal; i=inferior; t=temporal; 1=anillo interno; 2=anillo externo.

RESULTADOS:

El ECM (*Figura 2*) mostró diferencias estadísticamente significativas al comparar entre zonas (p<0,001). La comparación por pares reveló que el espesor de la zona nasal del anillo externo (media 192,75 \pm 68,64 μ m) era significativamente menor que en el resto de zonas (p<0,001). La zona nasal del anillo interno también mostró un grosor menor (media 245,25 \pm 69,82 μ m) con respecto a la zona central (media 268,25 \pm 73,35 μ m; p<0,001) y la zona superior (media 273,56 \pm 64,82 μ m; p=0,002), inferior (media 265,64 \pm 76,81, p=0,004) y temporal (media 269,06 \pm 72.18 μ m; p=0,001) del anillo interno. También se obtuvieron diferencias significativas en la zona temporal (p=0,028) entre el anillo interno (media 269,06 \pm 72,18 μ m) y externo (media 253,89 \pm 61,44 μ m). Por otra parte, se observó que la LA se correlacionaba negativamente con el ECM en todas las zonas (r>0,3; p<0,05), excepto en la zona superior del anillo externo (p=0,057). El EE mostró una correlación positiva con el ECM en todas las zonas (r>0,3; p<0,05).



COMUNICACIÓN e-POSTER

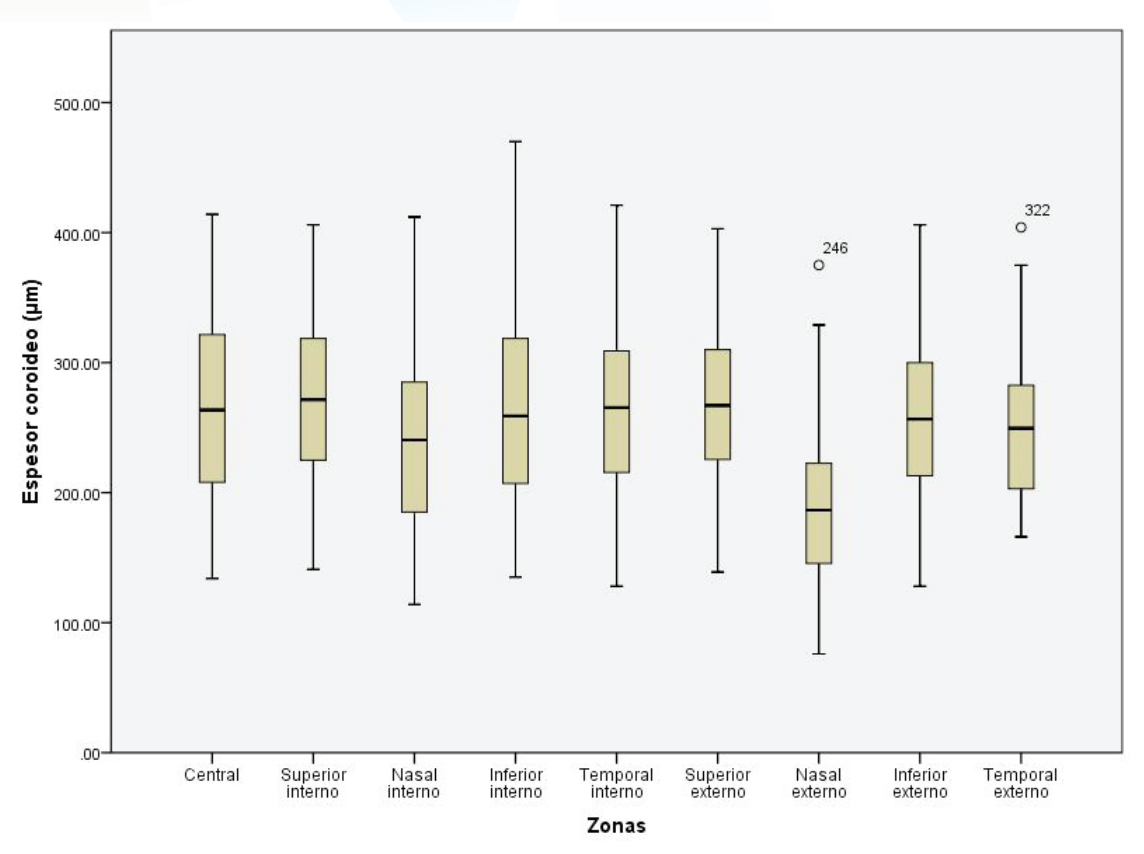


Figura 2. Diagramas de cajas del espesor coroideo macular por zonas.

CONCLUSIONES:

El ECM mostró un menor grosor con mayor LA y un EE más negativo. En la muestra evaluada, la zona macular que mostró un menor ECM fue la zona nasal tanto del anillo externo como en el interno.

ORGANIZA:













